

方向スペクトルを考慮した近接観測点における波浪相関の検討事例

永井 紀彦*・上田 裕章**・福岡 康宣***・小山 良明****

紋別港の北部沿岸に位置する水深18m地点に設置された流速計型波向計による旧観測点と、これを南側に約20km移設した水深50m地点における海象計による新観測点における波浪条件の相違と相関性を、1年間の並行観測が行われた記録を活用し、検討した。1年間にわたる2時間毎の20分間0.5s間隔の同時波浪観測記録(各約4000観測記録)について方向スペクトルを算定し、周期帶毎の対応波高と波向でその結果を整理した。この結果、両観測点の相関性は、周期帶毎に異なる特性となることが明らかにされた。そして、周期帶成分波向毎に波高相関比を求めて旧観測地点の波高を推定する換算法を提案した。

1. はじめに

安全かつ信頼性の高い海域利用計画の策定や施設設計条件の把握のためには、出現波浪の長期統計解析結果が重要になるので、沿岸域における波浪観測は長期間にわたって、同一条件で継続されることが望ましい(合田, 2001)。しかし、海域の利用形態の変遷に伴って観測点を移設する必要が生ずる場合も、現実には数多い。波浪観測の変更が行われる際は、1年間程度の並行観測期間を設けて、新旧の両観測条件における波浪の出現特性の相違や、両波浪観測地点における波浪の相関性を、正確に把握しておくことが、波浪統計整備上から望ましい。しかし、海域利用との折り合いや予算の制約等の問題があるので、並行観測が行われる事例は極めて数少ないのが実状である。本研究では、紋別港沖合の波浪観測の地点変更の際に1年間の並行観測が行われた記録を活用し、新旧両波浪観測点における波浪条件の相違と相関性を、方向スペクトル情報として検討した事例を紹介する。

2. 紋別港における波浪観測の変遷

紋別港における沖合波浪観測は、港湾の北部沿岸に位置する観測地点で実施されていた。水深50mに位置する超音波式波高計(USW)によって波高・周期の観測がなされ、USWと陸上観測局とを結ぶ海底ケーブルのルート上の水深18m地点に設置された、水圧式波高計と水平2成分流速計を一体化した流速計型波向計(CWD)によって、波向の観測が行われていた(菅原ら, 1999)。

その後、1997年7月に、CWDとUSWの間の海底ケーブルが切断されたため、CWDによる観測だけが継続されることになった。しかし、水深18mでの浅海域での観測によっては、沖波の把握は困難であると考えられたの

で、水深50mでの観測の再開の必要性が指摘された(永井, 1997)。ただし、現地における漁業活動との調整において、既設の観測海底ケーブルの維持復旧が困難と考えられたため、波浪観測地点を港湾の北側から南側に20km程度移設した上で、1990年代後期になって新たに開発された、深海波の波向や方向スペクトルの計測が単一の海底設置センサーで可能となった海象計を用いた新たな観測方式(永井, 1998)が、採用されることになった。

海象計による新たな観測は、2000年10月に開始されたが、新旧両観測地点における波浪条件の相関性を検討するため、並行観測が2001年10月までの約1年間にわたって実施された。2時間毎に20分間0.5s間隔の同時波浪観測記録が、結氷等によって観測データが取得できなかった場合を除き、新旧両観測地点でそれぞれ約4000観測記録について測得された。これらの各観測記録から方向スペクトルを算定し、周期帶毎の対応波高と波向でその結果を整理することによって、新旧両観測点の比較検討を行った。

図-1は、新旧観測地点の位置を地図上に示したものである。水深20mおよび50mの等深線に注目すると、

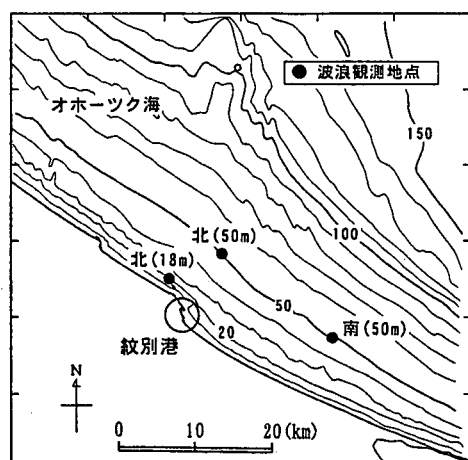


図-1 新旧の波浪観測点の位置図

* 正会員 工博 (独法)港湾空港技術研究所海洋・水工部海象情報研究室長

** 正会員 北海道開発局港湾空港部港湾建設課港湾技術係長

*** 北海道開発局網走開発建設部築港課長

**** 北海道開発局網走開発建設部紋別港湾建設事務所長

表一 波浪観測条件の変遷

	紋別北(50 m)	紋別北(18 m)	紋別南(50 m)
緯度	44°24'57"	44°23'14"	44°18'55"
経度	143°25'56"	143°20'40"	143°36'39"
機種	USW	CWD	海象計
観測期間	1984.7.1~1997.6	1984.11~2001.10	2000.10~現在
相関検討期間	1997.1~1997.6	2000.10~2001.10	

等深線はほぼ海岸線と平行になっており、屈折等による局所的な波浪変形は、顕著には現れにくいことが予想される。表一には、各観測点における観測条件と、3.および4.で述べるそれぞれの相関を検討した期間を示す。

3. 紋別北における波浪相関

表一に示すように、1997年7月から2000年10月までの約3年間は、水深18 mに位置するCWDだけで、紋別港の波浪観測が行われていた。これによる観測成果を既存の水深50 mにおける観測データに換算するための相関を以下で述べるように検討した。

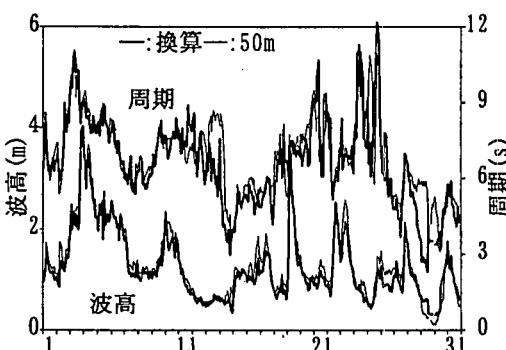
すなわち、CWDで観測される水圧変動記録とUSWとの波浪相関を、以下の3段階の手順で整理し、長期波浪統計の連続性を維持することとした(永井ら、1999)。

3.1 水圧波形の表面波換算

周波数スペクトルに応答関数を乗じて換算を行った。線形理論によれば短周期になるほど水圧変動に大きい応答値を乗ずる必要がある。しかし、非線形性を考慮すれば、応答関数の値には上限値を設ける方が妥当であるとされている。ここでは、最大換算倍率を30とした応答関数を採用することとした。また、2 Hz以上の高周波成分はノイズと考え、応答関数値を0として除去することとした((財)沿岸開発技術研究センター、2000)。

3.2 水深18 mから50 mへの換算

線形理論に基づく浅水変形係数を乗じて、水深の換算



図二 紋別北における有義波の相関 (1997.1.)

表二 屈折の影響を考慮した波向別の換算係数

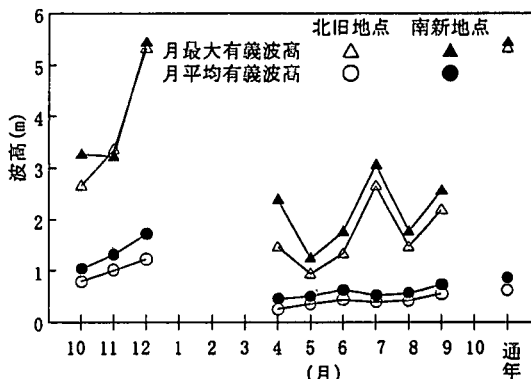
波向	NW	NNW	N	NNE	NE	ENE	E	ESE	SE
波高比	1.1	1.1	1.1	1.0	1.0	1.0	1.1	1.1	1.1

を行った。線形理論によれば、浅水変形係数は周期だけの関数となるので、①で述べた応答関数の中に、この水深換算も含ませることが可能である。

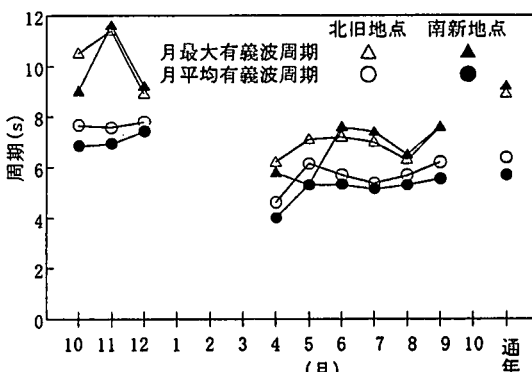
3.3 面的波浪変形の考慮

波入射角が等深線直角方向からずれるほど、屈折の影響で、浅海地点の波高の低下が生ずる。ここでは、1997年1月から6月までの半年間のUSWとCWDとの観測データの比較の結果に基づき、表二に示すように海岸線直角方向に近いNNEからENEの波入射に対しては1.0、これよりも斜めからの波入射に対しては1.1という係数を設定して、18 mから50 mへの波高換算を行った。

図二は、1997年1月における、USWによる水深50 mの観測有義波と、水深18 mのCWDから換算した有義波とを比較したものである。高波浪時の有義波高に若



図三 両地点の各月平均・最大有義波高の比較



図四 両地点の各月平均・最大有義波周期の比較

表-3 周期帶の区分

区分	スペクトル順位	対応周期
f_1	1~4	32 s以上
f_2	5~8	25.6 s~16.0 s
f_3	9~12	14.0 s~10.7 s以上
f_4	13~16	9.8 s~8.0 s以上
f_5	17~21	7.5 s~6.1 s以上
f_6	22~128	5.8 s以下

干の相違が見られるものの、両者は概ねよく一致しており、妥当な換算が行われていることがわかる。

4. 南北波浪観測地点の波候統計の比較

4.1 有義波諸元における比較

図-3 および図-4 は、それぞれ、並行観測期間中の約1年間の、南北両波浪観測点の有義波高および有義波周期の、出現統計を比較したものである。比較にあたっては、北側の水深18 mにおける水圧変動記録を、3.で述べたように、水深50 mにおける表面波に換算したもの用いた。なお、月平均統計を整理するにあたっては、50%以上の測得率を前提条件としたため、流氷による影響で欠測が多くあった1月から3月の間は、図ではプロットされていない。

年間の最大有義波は12月に観測されているが、この時の波高・周期ともに両地点でほぼ等しい値となっている。しかし、月および年間の平均値としてみると、南側の新観測地点の方が、特に有義波高において、20%程度大きな値となることが注目される。有義波周期については、両観測点で波高の相違ほど顕著な違いは見られない。むしろ南側の新観測点の方が若干短い月平均有義波周期となっている。

図-5 は、波高階級毎の平均波向の出現特性を示したものである。両観測地点ともNEからの来襲波の出現頻度が最も大きいことは共通している。しかし、北側旧観

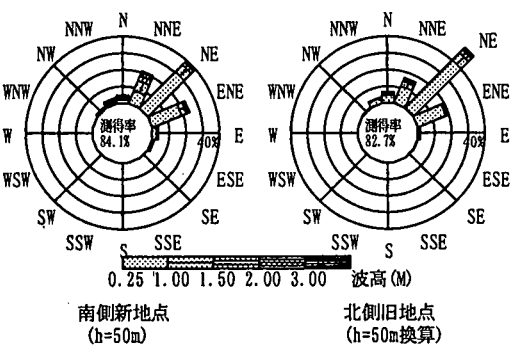


図-5 波向別有義波高の出現特性の比較

測点におけるNEからの波向の出現頻度は40%を超えており、南側新観測点ではNEからの波向出現頻度はこれより若干低く、その分、他の方向からの頻度が高い。すなわち、水深の浅い北側の旧観測点にくらべて南側の新観測点では、NNNやENEからの来襲頻度が相対的に高く、広い範囲からの波の来襲が見られる。これは、屈折の影響によるものであり、水深が浅くなるほど波向が、等深線直角方向に集中するためである。

4.2 方向スペクトルによる比較

4.1で述べた両観測地点における波浪の出現特性の相違を、より詳しく検討するため、両観測地点の方向スペクトルの算定を行った。方向スペクトルの算定結果は、表-3に示す周期帶区分で表記される、換算波高および周期帶内の平均波向として表記した(永井ら, 2000)。こうした方向スペクトルの表記は、既に、ナウファス(全国港湾海洋波浪情報網)の定常的な波浪統計解析において実施されている(永井ら, 2002)。

図-6 は、方向スペクトルの算定結果から求まる、周期帶毎の波高を比較した結果の一部であり、表-3で示す f_3 (10 sから15 sの比較的周期の長い周期帶)および f_5 (6 sから8 sの比較的周期の短い周期帶)の、それぞれにおける比較結果である。 f_3 を示す左図では、両地点の相關性は高い。これに対して、 f_5 を示す右図では、左図に比べてプロットのばらつきが広く、領地の相關性が低い。回帰直線の傾きは、両図に共通して、45度線より若干小さくなっている。南側新地点の有義波高の方が、北側旧観測点よりも統計的に大きい値となっていることによく対応している。

図-7 は、同様にして、周期帶波向を比較したものである。左図では、新旧両観測地点の波向の相關性は高いものの、回帰直線の傾きは45度より小さく、水深の浅い旧観測点における波向の変動幅は、新観測点における波向変動幅よりも小さい。これは、屈折の影響の相違と考えられ、水深の浅い北側旧観測点では、周期の長い成分の波向は等深線直角方向にそろいやすいことを意味している。他方、右図では、左図とは異なり、回帰直線の傾き

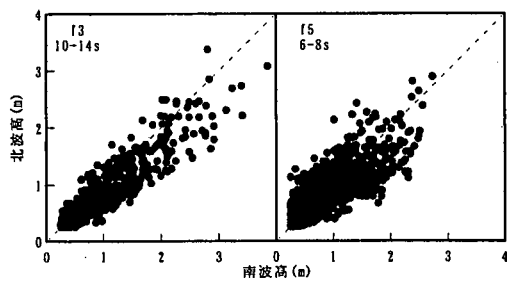


図-6 周期帶波高の比較

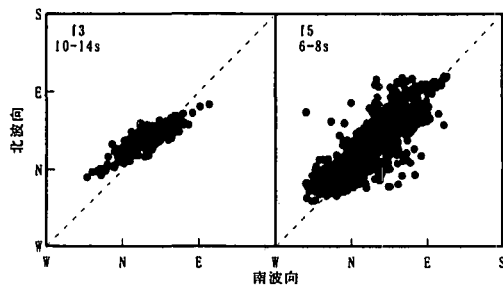


図-7 周期帶波向の比較

表-4 高波の出現記録の比較

起時	気象要因	南側新地点		北側新地点		時間差
		有義 波高(m)	有義 周期(a)	有義 波高(m)	有義 周期(a)	
2000/12/26/22	冬型気圧配置	5.44	9.2	5.32	8.9	0
2000/12/24/20	日本海低気圧	5.34	10.2	4.66	9.7	0
2001/1/4/20	北日本冬型気圧配置	3.96	8.8	3.98	8.6	-4
2001/10/3/16	東方海上低気圧	3.94	9.1	4.10	8.8	0
2000/10/19/0	オホーツク海低気圧	3.27	9.0	2.66	10.5	4
2000/12/7/6	北日本冬型気圧配置	3.24	8.8	2.67	7.3	-2
2000/11/16/20	北高型気圧配置	3.23	11.6	3.36	11.4	-2
2000/11/21/18	日本海低気圧	3.12	7.1	2.90	8.0	4
2001/7/7/2	東方海上低気圧	3.06	7.4	2.65	7.0	-2
2001/2/3/16	東方海上低気圧	3.04	7.1	1.63	6.5	0
2000/11/10/8	東方海上低気圧	3.02	11.5	2.28	12.4	6

は約45度であり、両観測点の波向変動範囲はほぼ等しい。しかし反面、縦軸と横軸との相関性は悪く、両観測点で異なる波向を示す場合が多い。このことは、短周期成分においては、長周期成分に比べて波浪の空間的変動が大きいことを意味しているものと考えられる。

5. 高波浪時における観測波浪の比較

表-4は、並行観測期間中の主要な高波期間を、その気象要因とともに示したものである。両観測地点における高波期間中の最大有義波は、2時間毎に観測される同時刻には必ずしもならなかつたので、表中には、最大有義波観測時刻の時間差を、あわせて示している。

高波をもたらした気象擾乱については、両観測地点に大きな相違は見られず、ほぼ同時期にそれぞれの観測地点で高波が記録されていることが理解できる。しかし、気象擾乱によっては、両観測地点における有義波高の最大値が大きく異なる場合もある。例えば、2000年12月24日20時には、旧観測地点における有義波高は4.66mであったのに対して、新観測地点では5.34mであり、南側の新観測地点の方が波が高かった。反面、2001年10月3日16時には、旧観測地点では4.10mであつ

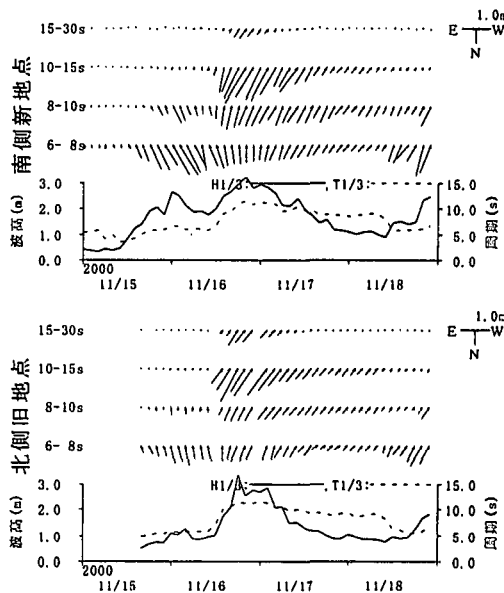


図-8 高波浪時における経時変化の比較例

たのに対して新観測地点では3.94mであり、逆に旧観測地点の方が波が高かった。

図-8は、高波期間中の周期帶毎の換算波高と波向を時系列でベクトル表示した事例である。 f_3 (10-15 s)および f_5 (15-30 s)の比較的長周期成分のベクトルは両者でほぼ一致しているものの、 f_5 (6-8 s)および f_4 (8-10 s)の短周期成分では両者の方向やパワーが異なっている。このため、擾乱期間中の最大有義波は、ほぼ一致していたものの、その起時は、前者が後者より2時間早くなつておらず、極大値前後の波浪の発達と減衰の時間経過は、大きく異なる。

6. 波浪換算の定式化とその適用限界

図-9は、周期帶および波向毎の波高相關の整理の一例を示したものであり、比較的周期の長い f_3 (10-15 s)と、比較的周期の短い f_5 (6-8 s)における比較を、南側新観測地点における周期帶波向NNEとNEに関して示したものである。ただし、波高が非常に小さい場合には、両者の波高比は大きくばらつくことを考え、周期帶換算波高が両地点ともに0.5 mを越える場合だけをデータ数Nとしてカウントし、プロットした。図中には原点通過を仮定した最小自乗法による回帰直線に加えて、90%のデータが含まれる範囲を破線で示している。図中に示すAは回帰直線の傾き(波高相關比)である。aは破線の範囲を示す指標であり、傾きが(aA)と(A/a)の間に90%のデータがプロットされている。

表-5は、各周期帶および波向に関して図-9に示す整

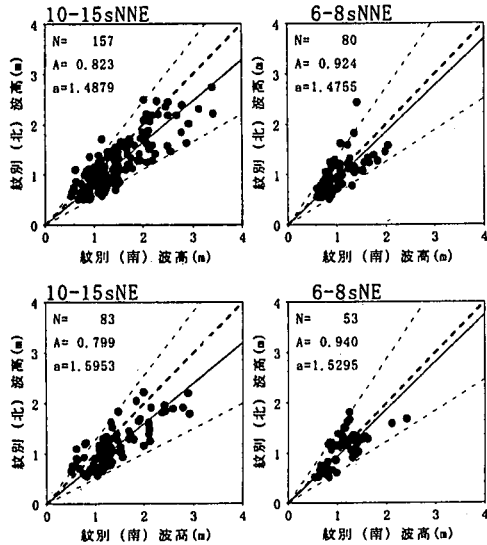


図-9 周期帶毎・波向毎の波高相関

理を行った結果をまとめたものである。この表が、本研究の結論であるが、以下の点が重要である。

① 斜め入射となる NNW 方向からの成分波高が 0.5 m を越えるのは、周期 10 s 以下の短い周期帯に限られる。しかし、周期の短い f_5 (6–8 s) では、NNW 方向の出現頻度が最も大きい。他の周期の長い周期帯では、NNE または NE からの出現頻度が大きい。

② A の値に注目すると、周期の短い f_5 (6–8 s) では、NNW から ENE に向けて方位が時計回りにずれるに従って、0.74 から 1.08 へと徐々に波高相関比が大きくなる傾向が見られる。逆に周期の長い f_3 (10–15 s) では、N から ENE に向けて方位が時計回りにずれると、0.90 から 0.77 へと徐々に波高相関比が小さくなっている。これは、風浪の発達やうねりの変形などの複雑な要因によるものと考えられるが、波高相関比は周期帶毎に整理すべきことを示した結果であると考えられる。

③ データ数が 20 以上となる表中の太線内の a の値は、1.3 から 1.6 の範囲でほぼ一定であった。すなわち、周期帶および波向毎の波高相関比の変動幅は、あまり大きく変化していないようである。ただし、周期の短い f_5

表-5 周期帶毎・波向毎の波高換算係数

	15-30 s	10-15 s	8-10 s	6-8 s
NNW	データ数	0	0	42
	波高比	—	—	0.586
	a(90%)	—	—	1.5539
N	データ数	0	13	59
	波高比	—	0.897	0.732
	a(90%)	—	1.5848	1.4280
NNE	データ数	19	157	154
	波高比	1.194	0.823	0.713
	a(90%)	1.7069	1.4879	1.3440
NE	データ数	33	83	68
	波高比	0.919	0.799	0.773
	a(90%)	1.4828	1.5953	1.4008
ENE	データ数	3	6	22
	波高比	0.795	0.774	0.858
	a(90%)	1.0633	1.6608	1.3107

(6–8 s) の NNW 方向の a は 1.62 と比較的大きく、波高相関比の変動幅が若干大きい。

参考文献

- 合田良実監修、海象観測データの解析・活用に関する研究会編集
(2001): 波を測る（沿岸波浪観測の手引き）, (財)沿岸開発技術研究センター, 212 p.
- (財)沿岸開発技術研究センター(2000): 沿岸波浪・海象観測データの解析・活用に関する解説書, 181 p.
- 菅原一晃・永井紀彦・佐藤和敏・川口浩二(1999): 全国港湾海洋海象観測施設台帳(ナウファス施設台帳III), 港研資料 No. 941, 49 p. (付録 339 p.)
- 永井紀彦(1997): ナウファス(全国港湾海洋波浪情報網)による我国沿岸の波浪特性の解明, 港研資料 No. 863, 113 p.
- 永井紀彦・佐藤和敏・菅原一晃・川口浩二(1999): 全国港湾海洋波浪観測年報(NOWPHAS 1997), 港研資料 No. 926, 366 p.
- 永井紀彦(1998): ナウファス(全国港湾海洋波浪情報網)の現況と今後の課題, 土木学会論文集, 第 609 号, VI-41, pp. 1-14.
- 永井紀彦・橋本典明・川口浩二・横井博志・久高将信(2000): 現地方向スペクトルに基づく波向き出現特性とその表記, 海岸工学論文集, 第 47 卷, pp. 1336-1340.
- 永井紀彦・佐藤和敏・菅原一晃(2002): 全国港湾海洋波浪観測年報(NOWPHAS 2000), 港空研資料 No. 1017, 423 p.